

## Elektrische Eigenschaften

## Electrical properties

## Höchstzulässige Werte

## Maximum rated values

Periodische Vorwärts- und Rückwärts-Spitzenperrspannung  Vorwärts-Stoßspitzenperrspannung Rückwärts-Stoßspitzenperrspannung Durchlaßstrom-Grenzeffektivwert Dauergrenzstrom  Stoßstrom-Grenzwert  Grenzlastintegral  Kritische Stromsteilheit  Kritische Spannungssteilheit	repetitive peak forward off-state and reverse voltages	$t_{vj} = -40^{\circ}\text{C}$ $t_{vj\max}$	$V_{DRM}, V_{RRM}$	800, 1000	V
	non repetitive peak forward off-state voltage	$t_{vj} = -40^{\circ}\text{C} \dots t_{vj\max}$	$V_{DSM} = V_{DRM}$	1100, 1200	V
	non repetitive peak reverse voltage	$t_{vj} = +25^{\circ}\text{C} \dots t_{vj\max}$	$V_{RSM} = V_{RRM}$	1300"	V
	RMS on-state current	$t_C = 85^{\circ}\text{C}$	$I_{TRMSM}$	400	A
	average on-state current	$t_C = 64^{\circ}\text{C}$	$I_{TAVM}$	188	A
	surge current	$t_{vj} = t_{vj\max}, t_p = 10 \text{ ms}$	$I_{TSM}$	254	A
	$I^2t$ -value	$t_{vj} = t_{vj\max}, t_p = 10 \text{ ms}$	$I^2t$	3300	A
	critical rate of rise of on-state current	$t_{vj} = t_{vj\max}, t_p = 10 \text{ ms}$	$(di/dt)_{cr}$	2900	A
Kritische Spannungssteilheit	critical rate of rise of off-state voltage	$V_D \leq 67\% V_{DRM}, f = 50 \text{ Hz}$	$(di/dt)_{cr}$	54500	$\text{A}^2\text{s}$
		$i_{GM} = 0,6 \text{ A}, di_G/dt = 0,6 \text{ A}/\mu\text{s}$	$(dv/dt)_{cr}$	42000	$\text{A}^2\text{s}$
		$t_{vj} = t_{vj\max}, V_D = 67\% V_{DRM}$	$(dv/dt)_{cr}$	160	$\text{A}/\mu\text{s}$
			$B:$	50	$\text{V}/\mu\text{s}$
			$C^*:$	500	$\text{V}/\mu\text{s}$
			$L:$	500	$\text{V}/\mu\text{s}$
			$M^*:$	1000	$\text{V}/\mu\text{s}$

## Charakteristische Werte

## Characteristic values

Durchlaßspannung  Schleusenspannung Ersatzwiderstand Zündstrom Zündspannung Nicht zündender Steuerstrom Nicht zündende Steuerspannung Haltestrom Einraststrom  Vorwärts- u. Rückwärts-Sperrstrom Zündverzug Freiwerdezeit	on-state voltage	$t_{vj} = t_{vj\max}, i_T = 600 \text{ A}$	$v_T$	max.	2,44 V
	threshold voltage	$t_{vj} = t_{vj\max}$	$v_{T(TO)}$		1,2 v
	slope resistance	$t_{vj} = t_{vj\max}$	$r_T$		1,35 mΩ
	gate trigger current	$t_{vj} = 25^{\circ}\text{C}, V_D = 12 \text{ V}$	$i_{GT}$	max.	150 mA
	gate trigger voltage	$t_{vj} = 25^{\circ}\text{C}, V_D = 12 \text{ V}$	$v_{GT}$	max.	2 v
	gate non-trigger current	$t_{vj} = t_{vj\max}, V_D = 12 \text{ V}$	$i_{GD}$	max.	10 mA
	gate non-trigger voltage	$t_{vj} = t_{vj\max}, V_D = 0,5 V_{DRM}$	$v_{GD}$	max.	0,25 V
	holding current	$t_{vj} = 25^{\circ}\text{C}, V_D = 12 \text{ V}, R_A = 10 \Omega$	$i_H$	max.	250 mA
	latching current	$t_{vj} = 25^{\circ}\text{C}, V_D = 12 \text{ V}, R_{GK} \geq 10 \Omega$	$i_L$	max.	1 A
	forward off-state and reverse Currents	$i_{GM} = 0,6 \text{ A}, di_G/dt = 0,6 \text{ A}/\mu\text{s}, t_g = 20 \mu\text{s}$	$i_D, i_R$	max.	30 mA
	gate controlled delay time	$t_{vj} = t_{vj\max}, V_D = V_{DRM}, v_R = V_{RRM}$	$t_{gd}$	max.	1,4 μs
	circuit commutated turn-off time	$t_{vj} = 25^{\circ}\text{C}, i_{GM} = 0,6 \text{ A}, di_G/dt = 0,6 \text{ A}/\mu\text{s}$ siehe Techn. Erl./see Techn. Inf.	$t_s$	max.	18 us
			$E:$	max.	20 μs
			$F:$	max.	25 μs

## Thermische Eigenschaften

## Thermal properties

Innerer Wärmewiderstand für beidseitige Kühlung  für anodenseitige Kühlung  für kathodenseitige Kühlung  Übergangswärmewiderstand	thermal resistance, junction to case for two-sided cooling	$\Theta = 180^{\circ} \text{ el, sin}$ DC	$R_{thJC}$	max.	0,117°C/W
	for anode-sided cooling	$\Theta = 180^{\circ} \text{ el, sin}$ DC	$R_{thJC(A)}$	max.	0,103°C/W
	for cathode-sided cooling	$\Theta = 160^{\circ} \text{ el, sin}$ DC	$R_{thJC(K)}$	max.	0,18 °C/W
	thermal resistance, case to heatsink	beidseitig/two-sided einseitig/one-sided	$R_{thCK}$	max.	0,166 °C/W
	max. junction temperature			max.	0,28 °C/W
	Operating temperature			max.	0,266°C/W
Höchstzul. Sperrsichttemperatur Betriebstemperatur Lagertemperatur	storage temperature	beidseitig/two-sided einseitig/one-sided		max.	0,015°C/W
				max.	0,03 °C/W
					125°C
	$t_{vj\max}$		$t_{vj\max}$		
	$t_{c\text{ op}}$				-40 ... + 125°C
	$t_{\text{stg}}$				-40 ... + 140°C

## Mechanische Eigenschaften

## Mechanical properties

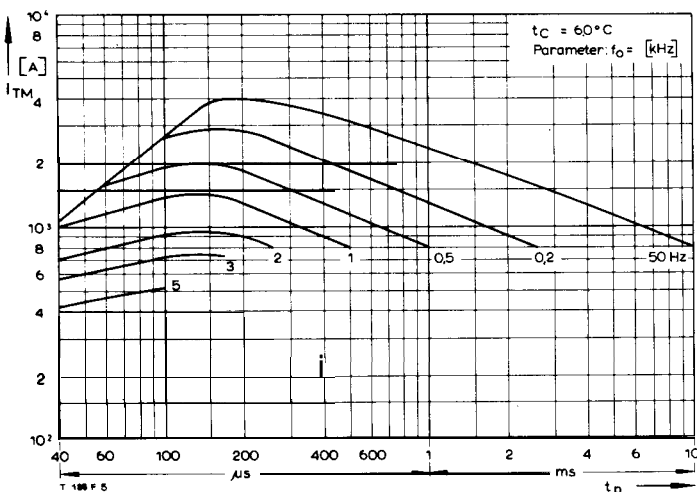
Si-Element mit Druckkontakt Anpreßkraft Gewicht Kriechstrecke Feuchtekategorie Schwingfestigkeit Maßbild	Si-pellet with pressure contact Clamping force weight		$F$	3 ... 6 kN
	Creepage distance		$G$	typ.
	humidity classification	DIN 40040		70 g
	Vibration resistance	f = 50 Hz		17mm
	outline	DIN 41814-151A4		C
				50 m/s <sup>2</sup>
				Seitelpage 154

• Für größere Stückzahlen bitte Liefertermin erfragen/Delivery for larger quantities on request

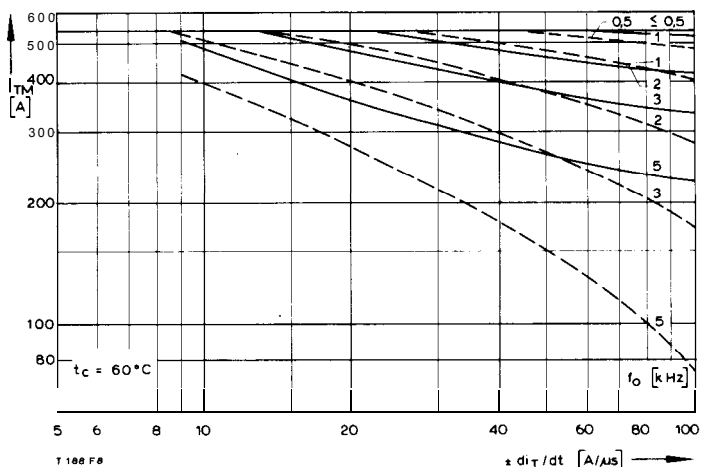
1) Werte nach DIN IEC 747-6 (ohne vorausgehende Kommutierung)/Values to DIN IEC 747-6 (without prior commutation)

2) Unmittelbar nach der Freiwerdezeit, vgl. Meßbedingungen für  $t_q$ /Immediately after circuit commutated turn-off time, see Parameters  $t_q$

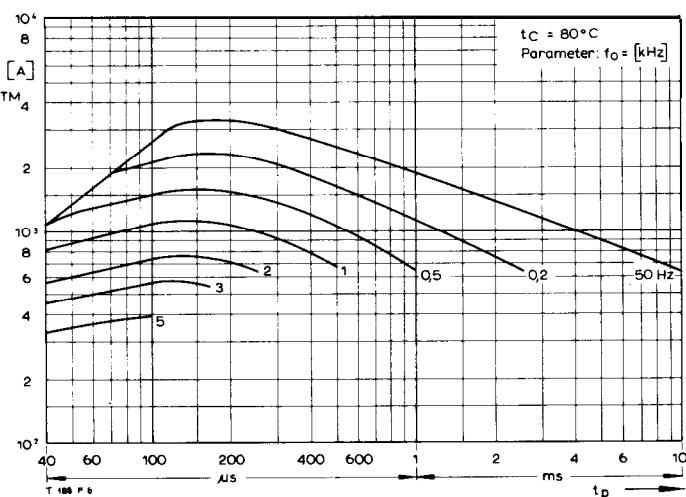
# T 188 F



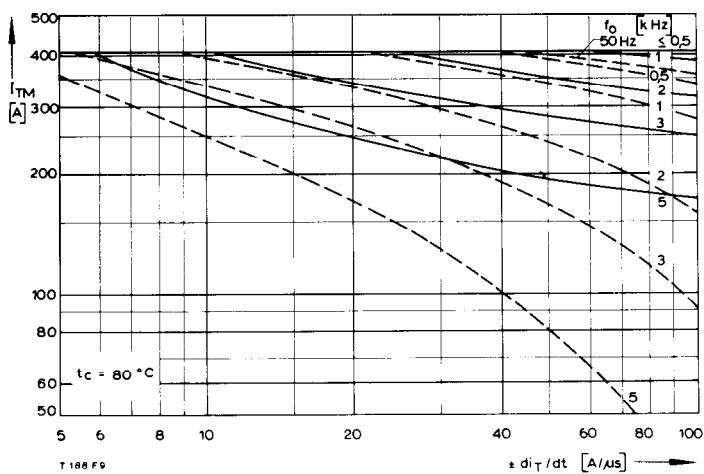
Bild/Fig. 1



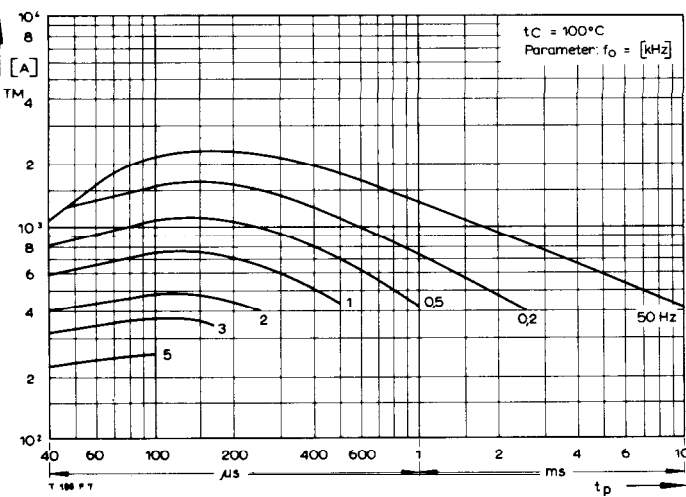
Bild/Fig. 4



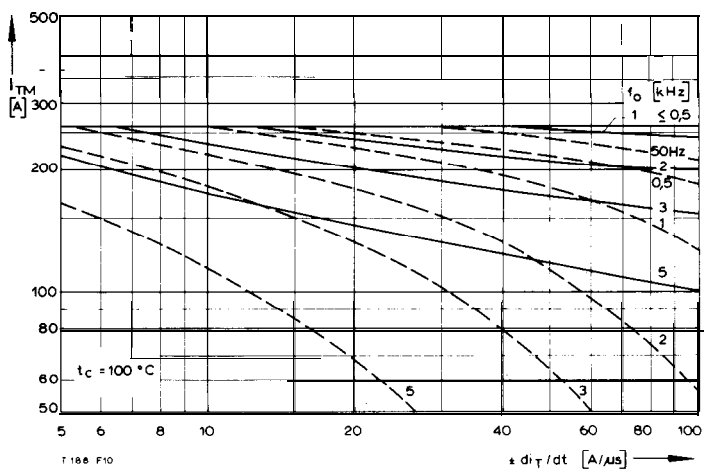
Bild/Fig. 2



Bild/Fig. 5



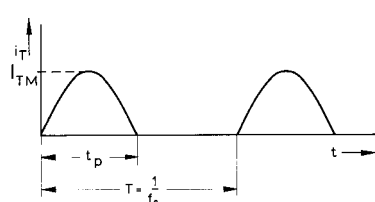
Bild/Fig. 3



Bild/Fig. 6

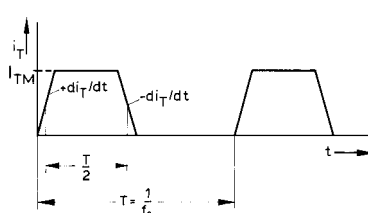
Bild/Fig. 1, 2, 3  
Steuergenerator/pulse generator:  
 $i_G = 0.6 \text{ A}$ ,  $\frac{di_G}{dt} = 0.6 \text{ A}/\mu\text{s}$

RC-Glied/RC-network:  
 $R[\Omega] \geq 0.02 V_{DM} [\text{V}]$   
 $C \leq 0.22 \mu\text{F}$   
 $V_{DM} \leq 0.67 V_{DRM}$

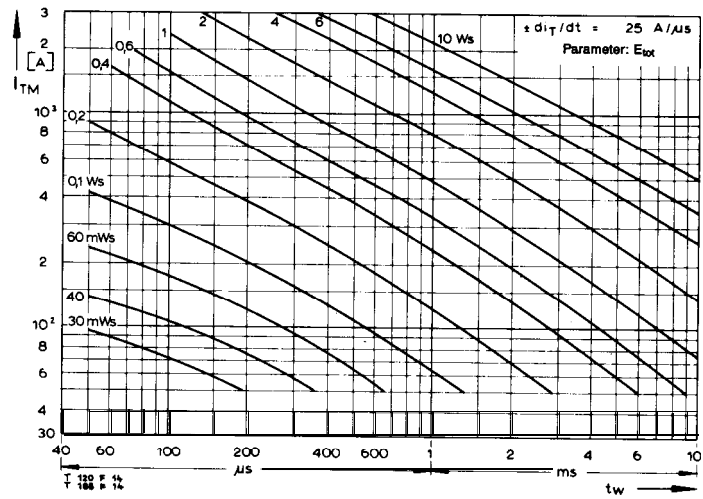


Bild/Fig. 4, 5, 6  
Steuergenerator/pulse generator:  
 $i_G = 0.6 \text{ A}$ ,  $\frac{di_G}{dt} = 0.6 \text{ A}/\mu\text{s}$

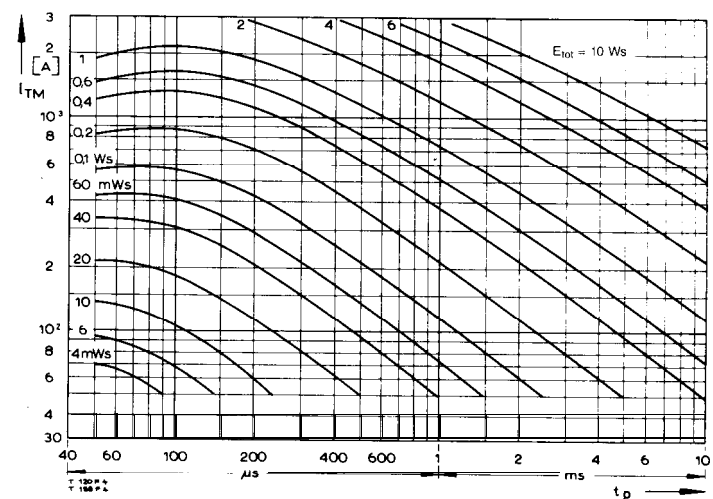
RC-Glied/RC-network:  
 $R[\Omega] \geq 0.02 V_{DM} [\text{V}]$   
 $C \leq 0.33 \mu\text{F}$   
 $V_{DM} \leq 0.67 V_{DRM}$   
 $\frac{dv_B}{dt} \leq 600 \text{ V}/\mu\text{s}$   
 $V_{RM} \leq 0.67 V_{RRM}$



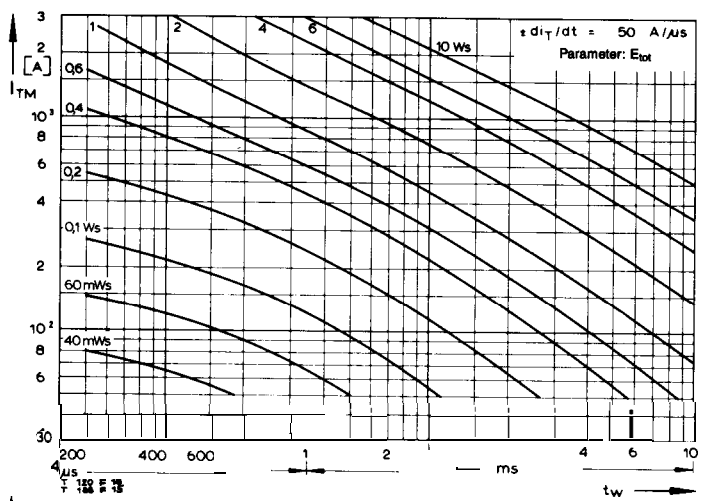
# T 188 F



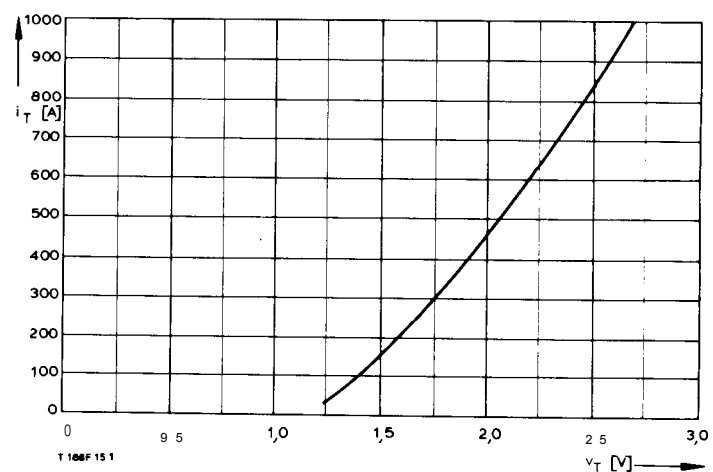
Bild/Fig. 10



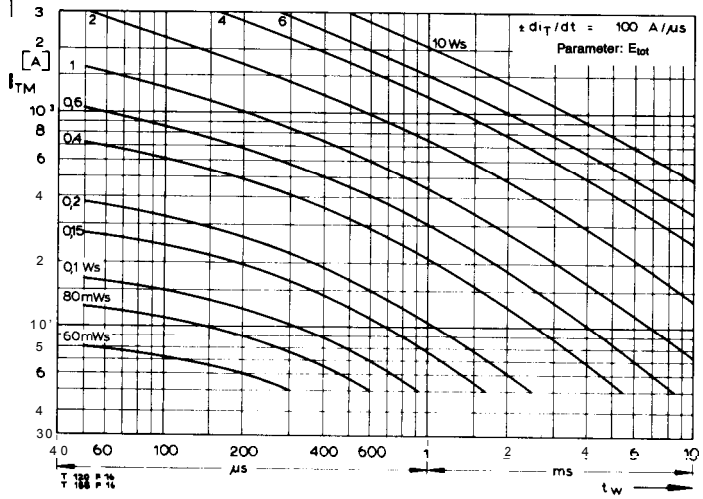
Bild/Fig. 13



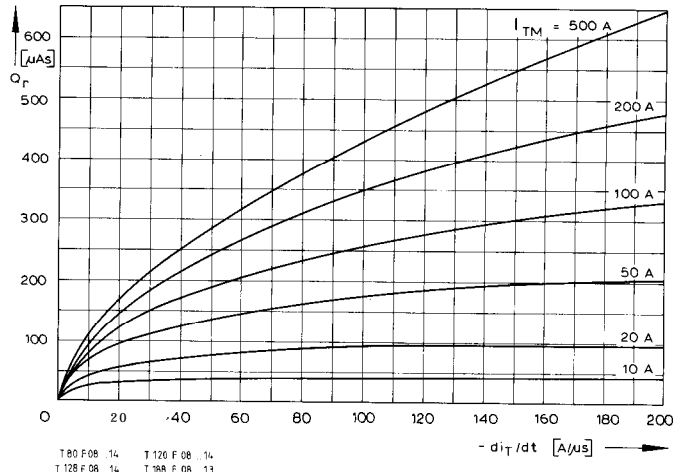
Bild/Fig. 11



Bild/Fig. 14



Bild/Fig. 12



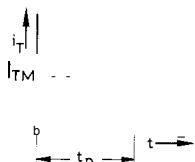
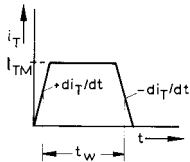
Bild/Fig. 15

Bild/Fig. 10, 11, 12  
Steuergenerator/pulse generator:  
 $i_G = 0.6 \text{ A}$ ,  $di_G/dt = 0.6 \text{ A}/\mu\text{s}$

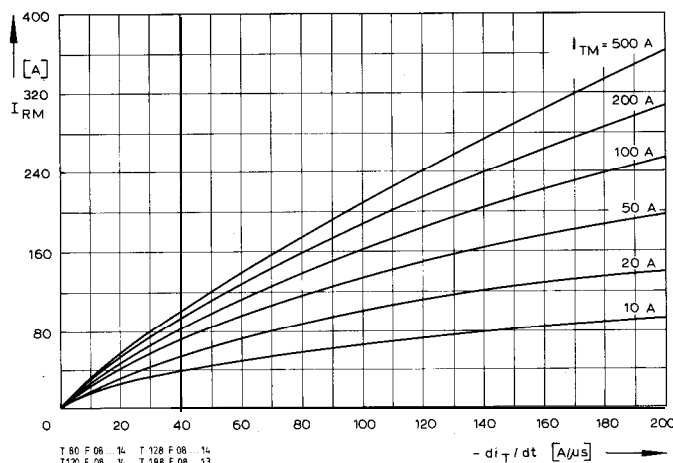
RC-Glied/RC-network:  
 $R [\Omega] \geq 0.02 v_{DM} [\text{V}]$   
 $C \leq 0.33 \mu\text{F}$   
 $v_{DM} \leq 0.67 \text{ V}_D$ ,  
 $dv_R/dt \leq 600 \text{ V}/\mu\text{s}$   
 $v_{RM} \leq 0.67 \text{ V}_{RM}$

(zu Bild/to Fig. 13)  
Steuergenerator/pulse generator:  
 $i_G = 0.6 \text{ A}$ ,  $di_G/dt = 0.6 \text{ A}/\mu\text{s}$

RC-Glied/RC-network:  
 $R [\Omega] \geq 0.02 v_{DM} [\text{V}]$   
 $C \leq 0.22 \mu\text{F}$

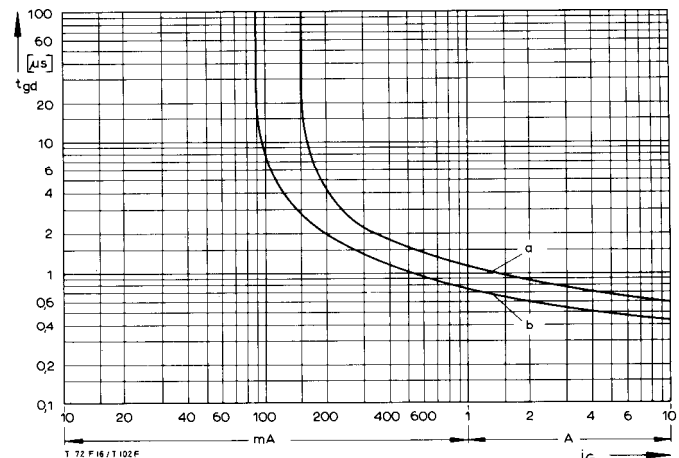


# T 188 F



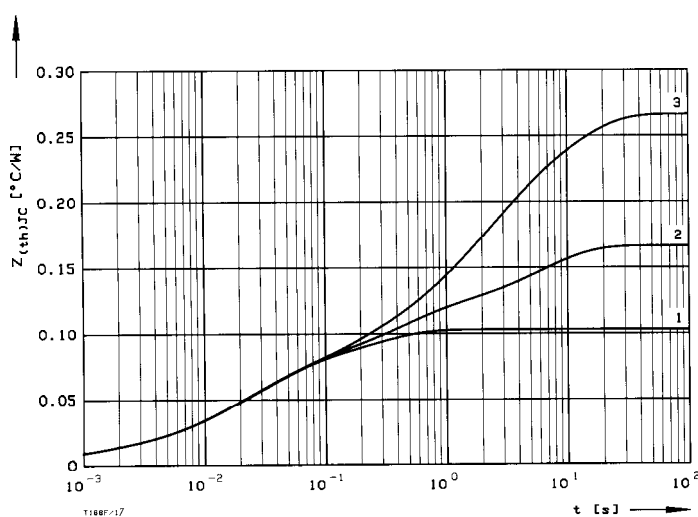
Bild/Fig. 16

Rückstromspitze  $I_{RM} = f(-di/dt)$ ,  $t_{vj} = t_{vj(\max)}$ ,  $V_R = 0,5 V_{RRM}$ ,  $V_{RM} = 0,8 V_{RRM}$   
Peak reverse recovery current  $I_{RM} = f(-di/dt)$ ,  $t_{vj} = t_{vj(\max)}$ ,  $V_R = 0,5 V_{RRM}$ ,  $V_{RM} = 0,8 V_{RRM}$   
Parameter: Durchlaßstrom/On-state current  $I_{TM}$



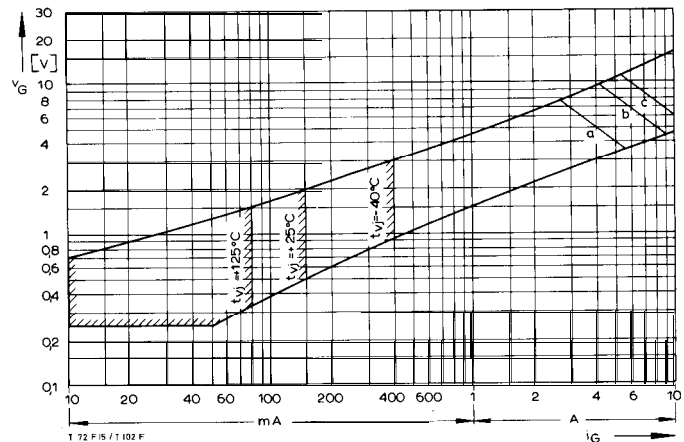
Bild/Fig. 16

Zündverzug/Gate controlled delay time  $t_{gd} = f(i_{GM})$ ,  $t_{vj} = 25^\circ\text{C}$ ,  $di_G/dt = i_{GM}/\mu\text{s}$   
a - Maximaler Verlauf/Limiting Characteristic  
b - Typischer Verlauf/Typical Characteristic



Bild/Fig. 17

Transient innerer Wärmewiderstand  $Z_{(th)JC} = f(t)$ , DC  
Transient thermal impedance  $Z_{(th)JC} = f(t)$ , DC  
1 Beidseitige Kühlung/two-sided cooling  
2 Anodenseitige Kühlung/anode side cooling  
3 Kathodenseitige Kühlung/cathode side cooling



Bild/Fig. 19

Steuercharakteristik mit Zündbereichen/Gate Characteristic with triggering areas  
 $V_G = f(i_G)$ ,  $V_D = 12 \text{ V}$

Parameter:	a	b	c
SteuerimpulsdauernTrigger pulse duration $t_g$ [ms]	10	1	0,5
Höchstzulässige Spitzensteuerverlustleistung/ Max. rated peak gate power dissipation $P_{GM}$ [W]	20	40	60

Analytische Elemente des transienten Wärmewiderstandes  $Z_{thJC}$  für DC  
Analytical elements of transient thermal impedance  $Z_{thJC}$  for DC

Kühlung cooling	Pos. n	1	2	3	4	5	6	7
beidseitig	$R_{thn}$ [ $^\circ\text{C}/\text{W}$ ]	0,00755	0,019	0,0461	0,0303			
two-sided	$\tau_n$ [s]	0,000788	0,00877	0,0326	0,241			
anodenseitig	$R_{thn}$ [ $^\circ\text{C}/\text{W}$ ]	0,0077	0,0228	0,044	0,04	0,0513		
anode-sided	$\tau_n$ [s]	0,000805	0,0098	0,0368	0,373	5,97		
kathodenseitig	$R_{thn}$ [ $^\circ\text{C}/\text{W}$ ]	0,0079	0,0138	0,0389	0,0233	0,0284	0,0791	0,0746
cathode-sided	$\tau_n$ [s]	0,000827	0,00875	0,0226	0,118	0,577	2,17	9,76

Analytische Funktion/analytical function:

$$Z_{thJC} = \sum_{n=1}^{max} R_{thn} (1 - \exp(-t/\tau_n))$$